

Statisch unbestimmte Stabsysteme

Vorgehen 2 – Superposition

- n-fach statisch unbestimmt
- k = 0 + n ... Ersatzsystem
- i = 1 + Anzahl Stäbe ... Stabindex

1. Rückführung auf statisch bestimmte Systeme durch Entfernen von n Stäben

- 0-System: hier wirkt nur äussere Kraft F
- k-System: hier wirken jeweils nur die n statisch unbestimmten Stabkräfte S_i als X_i

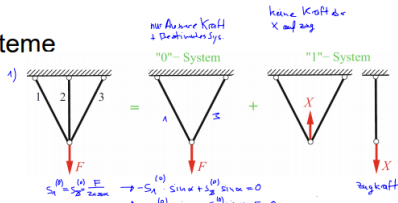
2. Gleichgewicht an jedem System

- Stabkräfte S_i^(k) in Abhängigkeit von F oder X_i

3. Berechnung der Stabdeformation Δl_i^(k) in Abhängigkeit von F oder X_i

$$\Delta l_i^{(k)} = \left(\frac{S_i^{(k)}}{E_i A_i} + \alpha_{th,i} \Delta T_i^{(k)} \right) l_i$$

Annahme: E_i, A_i, α_{th,i}, S_i, ΔT_i = const. entlang x



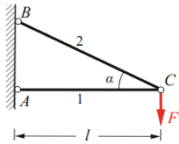
4. Superposition der Verschiebungen und Stabkräfte

5. Erstellen eines Verschiebungsplans (graphisch)

6. Aufstellen der n Verträglichkeitsbedingung (Kompatibilität der Stabdeformationen)

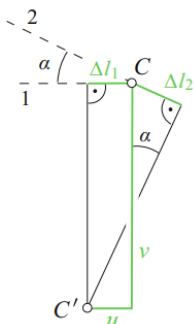
7. Auflösen der Gleichungen nach unbekanntem Stabkräften und Knotenverschiebungen

$$\Delta l_1 = \Delta l_2 = \dots = \Delta l_n$$



$$u = |\Delta l_1| = \frac{F l}{E A \tan \alpha}$$

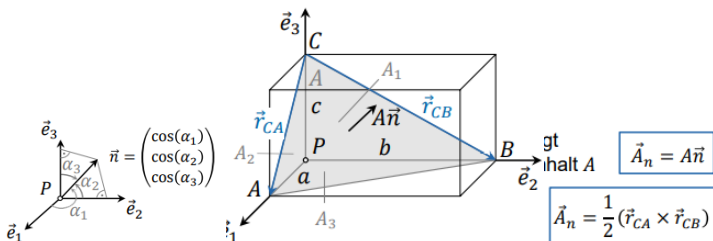
$$v = \frac{\Delta l_2}{\sin \alpha} + \frac{u}{\tan \alpha} = \frac{F l}{E A} \frac{1 + \cos^3 \alpha}{\sin^2 \alpha \cos \alpha}$$



Tensoren

Rotation um den Winkel φ	Rotation um den Winkel φ	Rotation um den Winkel φ
$\begin{pmatrix} \cos(\varphi) & \sin(\varphi) \\ -\sin(\varphi) & \cos(\varphi) \end{pmatrix}$	$\begin{pmatrix} \cos(\varphi) & 0 \\ 0 & \cos(\varphi) \end{pmatrix}$	$\begin{pmatrix} 1 & 0 \\ 0 & 1 \end{pmatrix}$
Nicht gültig		

Es gilt wegen |n̄| = 1: cos²(α₁) + cos²(α₂) + cos²(α₃) = 1
d.h. nur zwei Winkel sind frei wählbar.



$$\vec{A}_1 = -\frac{1}{2} c b \vec{e}_1 = -A_1 \vec{e}_1 \quad \vec{A}_2 = -\frac{1}{2} a c \vec{e}_2 = -A_2 \vec{e}_2 \quad \vec{A}_3 = -\frac{1}{2} a b \vec{e}_3 = -A_3 \vec{e}_3$$

$$A_i = \vec{A}_n \cdot \vec{e}_i$$

Beispiel: $\vec{A}_n \cdot \vec{e}_1 = A_n \cdot \vec{e}_1 = A_1 = A \cos(\alpha_1)$

$$\vec{t}_n = \lim_{\Delta A \rightarrow 0} \frac{\Delta \vec{F}_R}{\Delta A} = \frac{d\vec{F}_R}{dA}$$

$$[\vec{t}_n] = \frac{N}{mm^2}$$

$$\vec{\mu}_n = \lim_{\Delta A \rightarrow 0} \frac{\Delta \vec{M}_R}{\Delta A} = 0$$

$$\vec{\sigma} = (\vec{t}_1 \cdot \vec{n}) \vec{n} = \sigma \vec{n} = \sigma_{11} \vec{n}$$

$$\vec{t}_1 = \begin{pmatrix} \sigma \\ \tau_{12} \\ \tau_{13} \end{pmatrix} = \begin{pmatrix} \sigma_{11} \\ \tau_{12} \\ \tau_{13} \end{pmatrix}$$

$$\vec{t} = \vec{t}_n - \vec{\sigma} \quad \tau = \sqrt{t_n^2 - \sigma^2} = \sqrt{t_{n2}^2 + t_{n3}^2}$$

$$t_{n2} = (\vec{t} \cdot \vec{e}_2) \vec{e}_2 = \tau_{n2} \vec{e}_2$$

$$t_{n3} = (\vec{t} \cdot \vec{e}_3) \vec{e}_3 = \tau_{n3} \vec{e}_3$$

6

- Index: Richtung der Schnittnormalen
 - Index: Wirkrichtung der Spannungskomponente
- + Spannungen zeigen an + Schnittufer in + Richtung
 - + Spannungen zeigen an - Schnittufer in - Richtung

$$\sigma = \begin{pmatrix} \tau_{11} & \tau_{12} & \tau_{13} \\ \tau_{21} & \tau_{22} & \tau_{23} \\ \tau_{31} & \tau_{32} & \tau_{33} \end{pmatrix} = \begin{pmatrix} \sigma_{11} & \sigma_{12} & \sigma_{13} \\ \sigma_{21} & \sigma_{22} & \sigma_{23} \\ \sigma_{31} & \sigma_{32} & \sigma_{33} \end{pmatrix} = \sigma_{ik}$$

$$\sigma^T \vec{n} = \vec{t}_n \Leftrightarrow \sum_{i=1}^3 \sigma_{ik} n_i = t_{nk}$$

Formel von Cauchy

$$\sigma = \begin{pmatrix} p & 0 & 0 \\ 0 & p & 0 \\ 0 & 0 & p \end{pmatrix}$$

$$\sigma = \begin{pmatrix} \sigma_{11} & 0 & 0 \\ 0 & 0 & 0 \\ 0 & 0 & 0 \end{pmatrix} = \begin{pmatrix} \sigma_1 & 0 & 0 \\ 0 & 0 & 0 \\ 0 & 0 & 0 \end{pmatrix} \quad \sigma' = \frac{1}{2} \begin{pmatrix} \sigma_1 & \sigma_1 & 0 \\ \sigma_1 & \sigma_1 & 0 \\ 0 & 0 & 0 \end{pmatrix}$$

mit $\sigma_1 = \frac{N}{A}$, $N = F$ für 45°-Schnitt

p... Hydrostatischer Druck

Einachsiger Spannungszustand Zug / Druck

$$\sigma = \begin{pmatrix} \sigma_{11} & 0 & 0 \\ 0 & 0 & 0 \\ 0 & 0 & 0 \end{pmatrix} = \begin{pmatrix} \sigma_1 & 0 & 0 \\ 0 & 0 & 0 \\ 0 & 0 & 0 \end{pmatrix}$$

ESZ dünnwandige Struktur

$$\sigma = \begin{pmatrix} \sigma_{11} & \tau_{12} & 0 \\ \tau_{21} & \sigma_{22} & 0 \\ 0 & 0 & 0 \end{pmatrix}$$

$$\text{mit } \sigma_1(x_1, x_2) = -\frac{M(x_1)}{I} x_2$$

$$\sigma_{33}, \tau_{31}, \tau_{32} \ll \sigma_{11}, \sigma_{22}, \tau_{12}$$

$$\sigma^T = \sigma$$

Einfache Biegung

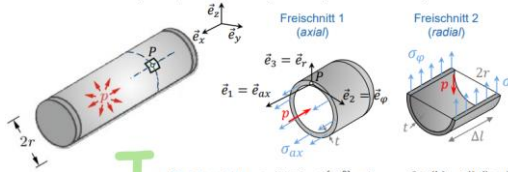
ESZ Torsion

$$\sigma = \begin{pmatrix} 0 & \tau_{12} & 0 \\ \tau_{21} & 0 & 0 \\ 0 & 0 & 0 \end{pmatrix}$$

$$\sigma' = \begin{pmatrix} \sigma_1 & 0 & 0 \\ 0 & -\sigma_1 & 0 \\ 0 & 0 & 0 \end{pmatrix}$$

$$\text{mit } \tau_{12}(x_1, x_3) = -\frac{M_T(x_1)}{I_T} x_3 \quad 45^\circ \text{ Schnitt mit } \sigma_1 = \tau_{12}$$

- dünnwandig: $t \ll r$ ($r > 5t$) → $\sigma_r \ll \sigma_\varphi, \sigma_{ax}$
- für P weit weg von Spannungsinhomogenitäten (i.e. Deckel / Kalotte).



Falls Kugelkessel:

δ Phi wird gleich δ Ax

$$\epsilon_{Kugel} = \Delta r / r_0$$

ESZ dünnwandiger Kessel

$$\sigma = \begin{pmatrix} \sigma_{ax} & 0 & 0 \\ 0 & \sigma_\varphi & 0 \\ 0 & 0 & 0 \end{pmatrix}$$

$$\text{Gleichgewicht } \sigma_{ax}(2\pi r t) - p(\pi r^2) = 0$$

$$2\sigma_\varphi(lt) - p(2rl) = 0$$

Axialspannung

$$\sigma_{ax} = \frac{1}{2} \frac{R}{t} p$$

$$\sigma_\varphi = \frac{R}{t} p = 2 \sigma_{ax} \quad \text{Umfangsspannung}$$

Beispiel

- Rotation um den Winkel γ um die z-Achse
- Rotation um den Winkel β um die mitrotierte y'-Achse

$$R_y(\beta) \cdot R_z(\gamma)$$

Nun gilt aber:

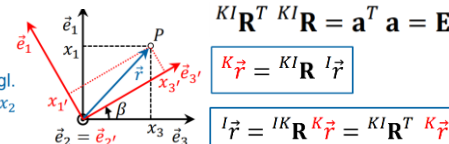
$$R_y(\beta) \cdot R_z(\gamma) = R_z(\gamma) \cdot R_y(\beta)$$

Entsprechendes gilt bei mehreren verketteten Rotationen um mitrotierte Achsen: Die Rotationsmatrizen werden in umgekehrter Reihenfolge aufgeschrieben, d.h. die Matrix für die letzte Rotation steht ganz rechts; dafür ‚vergisst‘ man, dass die Rotationsachse mitrotiert worden ist.

$${}^K I R^T = {}^K I R^{-1}$$

$${}^K I R^T {}^K I R = E$$

$${}^K I R^T = I {}^K R$$



$${}^K I R^T {}^K I R = a^T a = E$$

$$K \vec{r}' = {}^K I R \vec{r}$$

$$I \vec{r}' = I {}^K R K \vec{r}' = {}^K I R^T K \vec{r}'$$

Rotationsmatrizen für Koordinatentransformationen von I → K

Rotation um x₃ mit γ

$${}^K R_3 = \begin{pmatrix} \cos(\gamma) & \sin(\gamma) & 0 \\ -\sin(\gamma) & \cos(\gamma) & 0 \\ 0 & 0 & 1 \end{pmatrix}$$

Rotation um x₂ mit β

$${}^K R_2 = \begin{pmatrix} \cos(\beta) & 0 & -\sin(\beta) \\ 0 & 1 & 0 \\ \sin(\beta) & 0 & \cos(\beta) \end{pmatrix}$$

Rotation um x₁ mit α

$${}^K R_1 = \begin{pmatrix} 1 & 0 & 0 \\ 0 & \cos(\alpha) & \sin(\alpha) \\ 0 & -\sin(\alpha) & \cos(\alpha) \end{pmatrix}$$

Rotationsmatrizen für Koordinatentransformationen von K → I

Rotation um x₃ mit γ

$${}^I R_3 = \begin{pmatrix} \cos(\gamma) & -\sin(\gamma) & 0 \\ \sin(\gamma) & \cos(\gamma) & 0 \\ 0 & 0 & 1 \end{pmatrix}$$

Rotation um x₂ mit β

$${}^I R_2 = \begin{pmatrix} \cos(\beta) & 0 & \sin(\beta) \\ 0 & 1 & 0 \\ -\sin(\beta) & 0 & \cos(\beta) \end{pmatrix}$$

Rotation um x₁ mit α

$${}^I R_1 = \begin{pmatrix} 1 & 0 & 0 \\ 0 & \cos(\alpha) & -\sin(\alpha) \\ 0 & \sin(\alpha) & \cos(\alpha) \end{pmatrix}$$

Eine physikalische Grösse, die sich durch eine 3 × 3 Matrix σ darstellen lässt und sich mit einer orthogonalen Matrix a für die gilt $a^T = a^{-1}$ sowie $aa^T = a^T a = E$ mit $\det a = +1$

gemäss

$${}^K \sigma = \sigma' = a {}^I \sigma a^T$$

transformieren lässt, heisst Tensor 2. Stufe.

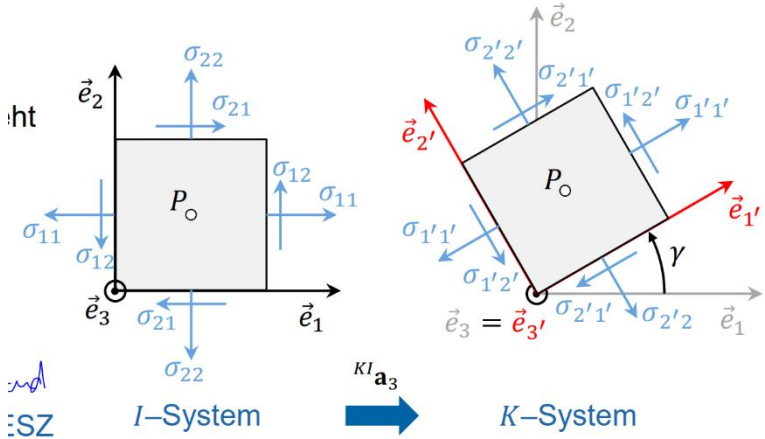
$${}^K \sigma = a_3 {}^I \sigma a_3^T$$

Ebenes Spannungszustand
Transformationsbeziehung für ESZ

$$\sigma_{1'1'} = \frac{1}{2}(\sigma_{11} + \sigma_{22}) + \frac{1}{2}(\sigma_{11} - \sigma_{22}) \cos(2\gamma) + \sigma_{12} \sin(2\gamma)$$

$$\sigma_{2'2'} = \frac{1}{2}(\sigma_{11} + \sigma_{22}) - \frac{1}{2}(\sigma_{11} - \sigma_{22}) \cos(2\gamma) - \sigma_{12} \sin(2\gamma)$$

$$\sigma_{1'2'} = \sigma_{2'1'} = -\frac{1}{2}(\sigma_{11} - \sigma_{22}) \sin(2\gamma) + \sigma_{12} \cos(2\gamma)$$



Haupttrichtung
(Winkel extremaler Normalspannung)

$$\tan(2\gamma^*) = \frac{2\sigma_{12}}{\sigma_{11} - \sigma_{22}}$$

Hauptspannung (extremale Normalspannung)

$$\sigma_{1,2} = \frac{1}{2}(\sigma_{11} + \sigma_{22}) \pm \sqrt{\left(\frac{\sigma_{11} - \sigma_{22}}{2}\right)^2 + \sigma_{12}^2}$$

Haupt Schubspannungsrichtung
(Winkel extremaler Schubspannung)

$$\tan(2\gamma^{**}) = -\frac{\sigma_{11} - \sigma_{22}}{2\sigma_{12}} \rightarrow \gamma^{**} = \gamma^* + \frac{\pi}{4}$$

Haupt Schubspannung (extremale Schubspannung) Mittelspannung

$$\tau_{max} = \pm \sqrt{\left(\frac{\sigma_{11} - \sigma_{22}}{2}\right)^2 + \sigma_{12}^2} = \pm \frac{1}{2}(\sigma_1 - \sigma_2) \quad \sigma_M = \frac{1}{2}(\sigma_{11} + \sigma_{22})$$

Eigenwertproblem

$${}^* \mathbf{R} = {}^* \mathbf{a} = \begin{pmatrix} I \\ \vec{e}_1^T \\ I \\ \vec{e}_2^T \\ I \\ \vec{e}_3^T \end{pmatrix} \rightarrow ({}^* \mathbf{a}^T \mathbf{\sigma} \mathbf{a}^T) = {}^* \mathbf{\sigma} \text{ mit } \sigma_{i,i^*} = \sigma_i, \sigma_{i^*,j^*} = 0 \text{ (Diagonalform)}$$

$$\det(\mathbf{\sigma} - \sigma \mathbf{E}) = 0 \rightarrow \begin{vmatrix} \sigma_{11} - \sigma & \sigma_{21} & \sigma_{31} \\ \sigma_{12} & \sigma_{22} - \sigma & \sigma_{32} \\ \sigma_{13} & \sigma_{23} & \sigma_{33} - \sigma \end{vmatrix} = 0$$

Invarianten

$\sigma^3 - I_1 \sigma^2 - I_2 \sigma - I_3 = 0$ Charakteristisches Polynom $I_1 \dots$ Invarianten von σ
 Durch Rückeinsetzen der Eigenwerte in die Eigenwertgleichung ${}^i(\mathbf{\sigma} - \sigma \mathbf{E}) {}^i \vec{n}_i = 0$ erhält man einen Eigenvektor ${}^i \vec{n}_i$ (= Haupttrichtung) für jeden Eigenwert σ_i (= Hauptspannung)

invariantensystem σ beschrieben wird Invarianten von σ

$$I_1 = \text{tr}(\mathbf{\sigma}) = \sigma_{11} + \sigma_{22} + \sigma_{33} = \sigma_1 + \sigma_2 + \sigma_3$$

$$I_2 = -\sigma_{11}\sigma_{22} - \sigma_{22}\sigma_{33} - \sigma_{33}\sigma_{11} + \sigma_{12}^2 + \sigma_{23}^2 + \sigma_{31}^2 = -\sigma_1\sigma_2 - \sigma_2\sigma_3 - \sigma_3\sigma_1$$

$$I_3 = \det(\mathbf{\sigma}) = \sigma_{11}\sigma_{22}\sigma_{33} - \sigma_{11}\sigma_{23}^2 - \sigma_{22}\sigma_{13}^2 - \sigma_{33}\sigma_{12}^2 + 2\sigma_{12}\sigma_{23}\sigma_{13} = \sigma_1\sigma_2\sigma_3$$

1. Invariante = Spur von σ (\propto hydrost. Spannung)
2. Invariante = Summe der Unterdeterminanten
3. Invariante = Determinante von σ

Mohr'scher Spannungskreis

$$(\sigma - \sigma_M)^2 + \tau^2 = R^2$$

$$\sigma_M = \frac{\sigma_{11} + \sigma_{22}}{2} \quad R^2 = \left(\frac{\sigma_{11} - \sigma_{22}}{2}\right)^2 + \sigma_{12}^2$$

Mittelpunkt Radius

\rightarrow Kreisgleichung in (σ, τ) -Ebene mit Mittelpunkt σ_M und Radius R

\rightarrow Der Radius R ist unabhängig vom Koordinatensystem, i.e. eine Invariante $R^2 = \frac{1}{4}(I_1^2 + 4I_2)$

Mohr'scher Kreis – Formeln (ϵ_{3z}) $\tau_{3z} = 0$

- Kreisradius $R = \sqrt{\left(\frac{\sigma_{11} - \sigma_{22}}{2}\right)^2 + \tau_{12}^2} = \frac{\sigma_1 - \sigma_2}{2}$
- Kreismittelpunkt $\sigma_M = \frac{\sigma_1 + \sigma_2}{2} = \frac{\sigma_{11} + \sigma_{22}}{2}$
- Hauptspannungen $\sigma_{1,2} = \frac{\sigma_{11} + \sigma_{22}}{2} \pm R = \frac{\sigma_{11} + \sigma_{22}}{2} \pm \sqrt{\left(\frac{\sigma_{11} - \sigma_{22}}{2}\right)^2 + \tau_{12}^2}$
- Maximale Schubspannung $\tau_{max} = \pm R = \sqrt{\left(\frac{\sigma_{11} - \sigma_{22}}{2}\right)^2 + \tau_{12}^2}$

Mohr'scher Kreis für spezielle Spannungszustände

Einachsiger Zug

- $\sigma_{11} = \sigma_0, \sigma_{22} = 0, \tau_{12} = 0$
- Haupt Schubspannung: $\tau_{max} = \frac{\sigma_0}{2}$ mit $\sigma_M = \frac{\sigma_0}{2}$
- Haupttrichtung: $\gamma^* = 45^\circ$

Reiner Schub

- $\sigma_{11} = 0, \sigma_{22} = 0, \tau_{12} = \tau_0$
- Hauptspannung: $\sigma_1 = \tau_0, \sigma_2 = -\tau_0$
- Haupttrichtung: $\gamma^* = 45^\circ$

Hydrostatischer Spannungszustand

- $\sigma_x = \sigma_y = \sigma_0, \tau_{xy} = 0$
- MOHR'scher Kreis entartet zu Punkt
- Bel. Drehung bringt immer gleichen SZ (invariant)

Vorgehen

1. Zeichne (σ, τ) -Ebene (ggf. mit Massstab)
 2. Trage Normalspannungen σ_{11} und σ_{22} auf σ -Achse auf (Vorzeichen!)
 3. Schubspannungen σ_{12} einzeichnen \rightarrow vorzeichenrichtig über σ_{11} \rightarrow umgekehrtes Vorzeichen über σ_{22} \rightarrow P und P' auf Kreis einzeichnen
 4. Kreismittelpunkt σ_M einzeichnen \rightarrow Schnittpunkt von $\overline{PP'}$ mit σ -Achse liefert σ_M, R
- \rightarrow P beschreibt den Spannungszustand im Schnitt durch einen Punkt, in welchem σ_{11} und σ_{12} wirken
- \rightarrow P' beschreibt den Spannungszustand in dazu um 90° gedrehten Schnitt im selben Punkt. Es wirken σ_{22} und σ_{12} .

Hauptspannungen mit Mohr'schem Spannungskreis

Vorgehen

Mit dem Mohr'schen Spannungskreis lassen sich die Drehwinkel γ^* (Haupttrichtung) und die Hauptspannungen $\sigma_{1,2}$ graphisch ermitteln.

\rightarrow Winkel zwischen P und der σ -Achse (i.e. $\tau = 0$) in der Mohr'schen (σ, τ) -Ebene entspricht $2\gamma^*$

\rightarrow Wird im Mohr'schen Kreis im Uhrzeigersinn um $2\gamma^*$ gedreht (heißt positiv), so muss der Schnitt im materiellen Punkt im Gegenuhrzeigersinn (d.h. ebenfalls positiv) um γ^* gedreht werden!

Haupt Schubspannungen mit Mohr'schem Spannungskreis 1

Vorgehen

Mit dem Mohr'schen Spannungskreis lassen sich auch die Drehwinkel γ^{**} (Haupt Schubspannungsrichtung) sowie die Haupt Schubspannungen τ_{max} und Mittelspannung σ_M graphisch ermitteln.

\rightarrow Winkel zwischen P und Q in der Mohr'schen (σ, τ) -Ebene entspricht $2\gamma^{**}$ (positive Drehung)

\rightarrow Der Winkel zwischen P und der Q' entspricht $2\left(\frac{\pi}{2} - \gamma^{**}\right)$ (negative Drehung) und ist äquivalent.

\rightarrow Die Haupt Schubspannung τ_{max} entspricht dem Radius, die Mittelspannung σ_M dem Mittelpunkt des Mohr'schen Kreises

Mohr'scher Kreis für räumlichen Spannungskreis

Vorsicht

Im Ebenen Spannungszustand ist eine Hauptspannung immer Null. Somit ergibt sich aus der alleinigen Analyse der Hauptspannungen $\sigma_{1,2}$ nicht die absolut maximalen Schubspannungen. Hierzu muss $\sigma_3 = 0$ berücksichtigt werden.

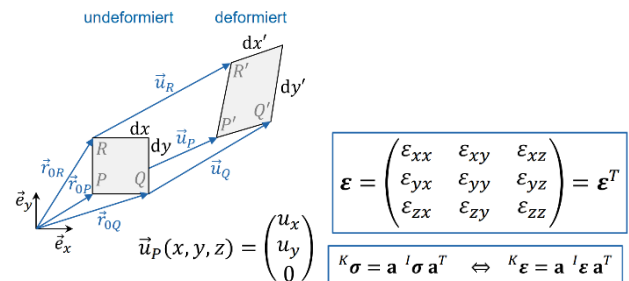
\rightarrow Für einen räumlichen Spannungszustand ergeben sich drei Mohr'sche Kreise

\rightarrow Dies muss vor allem dann berücksichtigt werden, wenn $\sigma_{1,2} > 0$ (sonst nicht konservativ)

\rightarrow Es ergeben sich so drei Haupt Schubspannungen (hier: $\tau_{max,13} > \tau_{max,12} > \tau_{max,23}$ mit den dazugehörigen Mittelspannungen)

\rightarrow Die Winkel, welche für die einzelnen Haupt Schubspannungen bestimmt werden, gelten für Drehungen aus der 13-, 12- bzw. 23-Hauptnormalspannungsebene

Ebener Verzerrungszustand (EVZ) / Verzerrungstensor



Dehnungen

$$\epsilon_{xx} = \frac{\partial u_x}{\partial x}$$

$$\epsilon_{yy} = \frac{\partial u_y}{\partial y}$$

$$\epsilon_{zz} = \frac{\partial u_z}{\partial z}$$

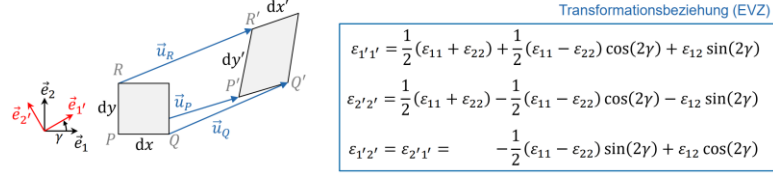
Scherungen

$$\gamma_{xy} = \frac{\partial u_x}{\partial y} + \frac{\partial u_y}{\partial x} = 2\epsilon_{xy}$$

$$\gamma_{yz} = \frac{\partial u_y}{\partial z} + \frac{\partial u_z}{\partial y} = 2\epsilon_{yz}$$

$$\gamma_{xz} = \frac{\partial u_x}{\partial z} + \frac{\partial u_z}{\partial x} = 2\epsilon_{xz}$$

- Ebener Verzerrungszustand (EVZ)
 - Verschiebungen im I (x₁ x₂ x₃) System: u₁, u₂ → ε₁₁, ε₂₂, ε₁₂
 - Verschiebungen im K (x_{1'} x_{2'} x_{3'}) System: u_{1'}, u_{2'} → ε_{1'1'}, ε_{2'2'}, ε_{1'2'}



Hauptdehnungen

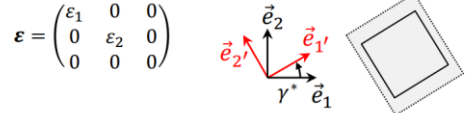
- Maximale / minimale Dehnung (keine Scherung, nur Vergrößerung der Fläche)

$$\epsilon_{1,2} = \frac{1}{2}(\epsilon_{11} + \epsilon_{22}) \pm \sqrt{\left(\frac{\epsilon_{11} - \epsilon_{22}}{2}\right)^2 + \epsilon_{12}^2}$$

- Hauptdehnungsrichtung

$$\tan(2\gamma^*) = \frac{2\epsilon_{12}}{\epsilon_{11} - \epsilon_{22}}$$

- Verzerrungstensor (EVZ, Hauptdehnungszustand)



- Hauptdehnungen & Hauptspannungen zeigen in gleiche Richtung (gilt nur für isotrope, elastische Materialien!!)
- Reine Vergrößerung der Fläche entlang Haupttrichtung

Hauptscherungen

- Maximale / minimale Scherung (Formänderung + zusätzliche isotrope Dehnung ε_M)

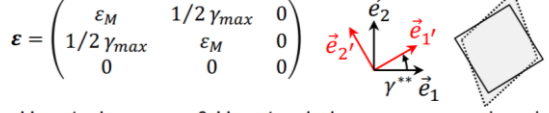
$$\frac{1}{2}\gamma_{max} = \pm \sqrt{\left(\frac{\epsilon_{11} - \epsilon_{22}}{2}\right)^2 + \epsilon_{12}^2} = \pm \frac{1}{2}(\epsilon_1 - \epsilon_2)$$

$$\epsilon_M = \frac{1}{2}(\epsilon_{11} + \epsilon_{22})$$

- Hauptscherungsrichtungen

$$\tan(2\gamma^{**}) = -\frac{\epsilon_{11} - \epsilon_{22}}{2\epsilon_{12}} \rightarrow \gamma^{**} = \gamma^* + \frac{\pi}{4}$$

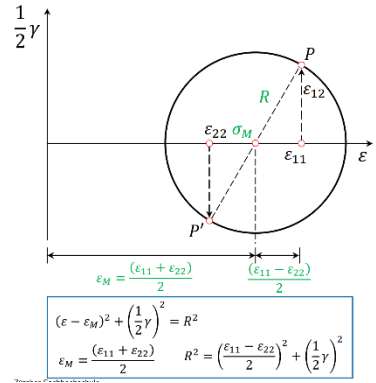
- Verzerrungstensor (EVZ, Hauptscherungszustand)



- Hauptscherungen & Hauptsschubspannungen zeigen in gleiche Richtung (isotrope, elastische Materialien!!)
- Formänderung + gleichmässige Vergrößerung d. Fläche

Mohr'scher Verzerrungskreis

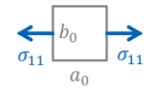
Analog zum Mohr'schen Spannungskreis



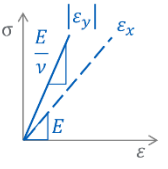
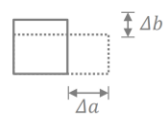
Vorgehen

- Zeichne (ε₁, 1/2γ) – Ebene
 - Trage Dehnungen ε₁₁ und ε₂₂ auf ε-Achse auf (Vorzeichen!)
 - Scherungen ε₁₂ einzeichnen → vorzeichenrichtig über ε₁₁ → umgekehrtes Vorzeichen über ε₂₂ → P und P' auf Kreis einzeichnen
 - Kreismittelpunkt ε_M einzeichnen → Schnittpunkt von PP' mit ε-Achse liefert ε_M, R
- P beschreibt den Verzerrungszustand im Schnitt durch einen Punkt, in welchem ε₁₁ und ε₁₂ wirken
- P' beschreibt den Verzerrungszustand im dazu um 90° gedrehten Schnitt im selben Punkt. Es wirken ε₂₂ und ε₁₂.

Gerader Schnitt Haupttrichtung (γ = 0°)



Verzerrung



Materialparameter { E ... Elastizitätsmodul [MPa]
ν ... Poissonzahl (-1 < ν < 0.5) [-]

Längsdehnung

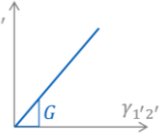
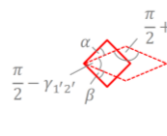
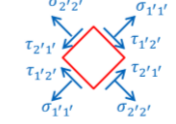
$$\epsilon_{11} = \frac{1}{E}\sigma_{11}$$

Querdehnungen

$$\epsilon_{22} = -\nu\epsilon_{11} = -\frac{\nu}{E}\sigma_{11}$$

$$\epsilon_{33} = -\nu\epsilon_{11} = -\frac{\nu}{E}\sigma_{11}$$

Schiefer Schnitt Hauptschubrichtung (γ = 45°)

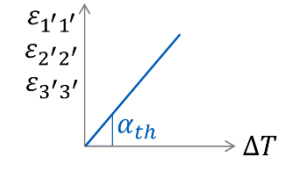
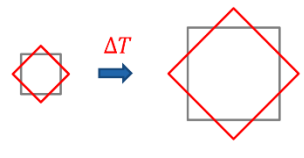


Materialparameter { G ... Schubmodul [MPa]
isotrop, elast. Material: G = E / (2(1+ν))

Scherungen

$$\gamma_{1'2'} = 2\epsilon_{1'2'} = \frac{1}{G}\sigma_{1'2'} \quad \gamma_{1'3'} = 2\epsilon_{1'3'} = \frac{1}{G}\sigma_{1'3'}$$

$$\gamma_{2'3'} = 2\epsilon_{2'3'} = \frac{1}{G}\sigma_{2'3'}$$



Thermische Dehnungen

$$\epsilon_{11} = \epsilon_{22} = \epsilon_{33} = \alpha_{th}\Delta T$$

$$\epsilon_{11} = \frac{1}{E}(\sigma_{11} - \nu(\sigma_{22} + \sigma_{33})) + \alpha\Delta T \quad \gamma_{12} = \frac{1}{G}\tau_{12}$$

$$\epsilon_{22} = \frac{1}{E}(\sigma_{22} - \nu(\sigma_{11} + \sigma_{33})) + \alpha\Delta T \quad \gamma_{23} = \frac{1}{G}\tau_{23}$$

$$\epsilon_{33} = \frac{1}{E}(\sigma_{33} - \nu(\sigma_{11} + \sigma_{22})) + \alpha\Delta T \quad \gamma_{13} = \frac{1}{G}\tau_{13}$$

Gamma in Radiant

- Normalspannungen → Längen-, Flächen-, Volumenänderungen
- Temperaturänderung → Volumenänderungen
- Schubspannungen → Gestaltänderung (Winkel)

$$\sigma_1 = \frac{E}{1-\nu^2}(\epsilon_1 + \nu\epsilon_2), \quad \sigma_2 = \frac{E}{1-\nu^2}(\epsilon_2 + \nu\epsilon_1)$$

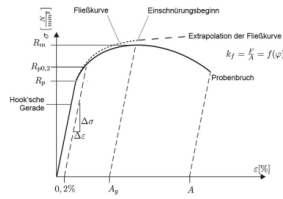
Hauptdehnungen und Hauptspannungen verwenden; falls kein EVZ ε₃₃ berechnen
Falls a d T vorhanden, 2mal a d T!, Gleichung 1) + ν2) umstellen auf Sigma x/y/z

Vorgehen Dehnmessstreifen

1. Koordinatensystem Vergeben
2. Transformationsbeziehungen
3. Fehlende Grössen berechnen
4. Haupt Dehnung berechnen
5. Haupt Richtung y^* bestimmen
6. Kontrolle durch Einsetzen
7. Skizze der Verzerrung
8. Hauptspannungen ermitteln (E, ν gegeben)
9. Mohrscherspannungskreis /Mohrscher Verzerrungskreis

Festigkeitshypothesen

- Versagen eines Stabes (Zugversuch \rightarrow einachsiger Spannungszustand) kann definiert werden bezüglich



- \rightarrow **Plastifizierung** $\sigma < \sigma_{zul} = \frac{R_{p0.2}}{SF_1}$
- \rightarrow **Bruch** $\sigma < \sigma_{zul} = \frac{R_m}{SF_2}$

- Im Allgemeinen herrscht in einem Bauteil aber ein räumlicher Spannungszustand

\rightarrow Wie muss Versagen ermittelt werden?

Festigkeitshypothesen

- Berechnungsvorschrift für eine **Vergleichsspannung** σ_v
- Beanspruchung im Bauteil durch σ_v charakterisiert
- \rightarrow kann mit **Zugversuch** verglichen werden
- vom Material abhängig

Normalspannungshypothese

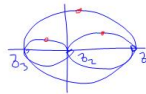
- Annahme:** grösste Hauptspannung für Versagen verantwortlich
- Anwendung:** spröde Werkstoffe (z.B. Keramik, Grauguss), stossende Belastung
- Versagen:** Bruchfläche senkrecht zur Hauptspannung

$$\sigma_v = \sigma_1$$

Normalspannungshypothese

Schubspannungshypothese (Tresca)

- Annahme:** grösste Schubspannung für Versagen verantwortlich
- \rightarrow Zugstab: $\tau_{max} = \frac{1}{2}\sigma_1$
- \rightarrow ESZ: $\tau_{max} = \frac{1}{2}(\sigma_1 - \sigma_2)$



- Anwendung:** duktile Werkstoffe (z.B. Metalle), einfache Handrechnung, bis zu 15% konservativer als vonMises
- Versagen:** Bruchfläche 45° zur Hauptspannung

$$\sigma_v = 2\tau_{max} = \max(|\sigma_1 - \sigma_2|, |\sigma_1 - \sigma_3|, |\sigma_2 - \sigma_3|) = \sqrt{(\sigma_1 - \sigma_2)^2 + 4\tau_{12}^2}$$

Schubspannungshypothese ESZ

Gestaltänderungshypothese (vonMises)

- Annahme:** Versagen durch Energie, welche Gestaltänderung bewirkt
- Anwendung:** duktile Werkstoffe (z.B. Metalle), einfache Handrechnung, generell weniger konservativ als Tresca, z.B. für Alu experimentell besser belegt
- Versagen:** Bruchfläche 45° zur Hauptspannung

$$\sigma_v = \sqrt{\sigma_{11}^2 + \sigma_{22}^2 + \sigma_{33}^2 - \sigma_{11}\sigma_{22} - \sigma_{11}\sigma_{33} - \sigma_{22}\sigma_{33} + 3(\tau_{12}^2 + \tau_{13}^2 + \tau_{23}^2)} = \sqrt{\sigma_{11}^2 + \sigma_{22}^2 - \sigma_{11}\sigma_{22} + 3\tau_{12}^2}$$

$$\sigma_v = \sqrt{\frac{1}{2}[(\sigma_{11} - \sigma_{22})^2 + (\sigma_{22} - \sigma_{33})^2 + (\sigma_{33} - \sigma_{11})^2 + 6(\tau_{12}^2 + \tau_{13}^2 + \tau_{23}^2)]}$$

$$\sigma_v = \sqrt{\frac{1}{2}[(\sigma_1 - \sigma_2)^2 + (\sigma_2 - \sigma_3)^2 + (\sigma_3 - \sigma_1)^2]} \quad \sigma_{1,2,3} = \text{Hauptspannungen}$$

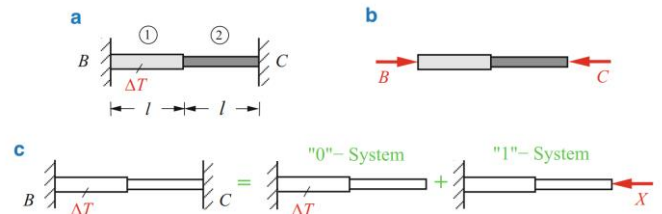
Gestaltänderungshypothese ESZ

$$\rightarrow: B - C = 0.$$

Daher müssen wir die Verformungen in die Rechnung einbeziehen. Für die Längenänderungen in den beiden Teilbereichen ① und ② gilt nach (1.16) mit der konstanten Normalkraft $N = -B = -C$:

$$\Delta l_1 = \frac{N l}{EA_1} + \alpha_T \Delta T l, \quad \Delta l_2 = \frac{N l}{EA_2}$$

(der Stab wird im Bereich ② nicht erwärmt).



$$\Delta l = \Delta l_1 + \Delta l_2 = 0.$$

Eine solche Bedingung wird auch **Verträglichkeitsbedingung (Kompatibilitätsbedingung)** genannt. Einsetzen ergibt

$$\frac{N l}{EA_1} + \alpha_T \Delta T l + \frac{N l}{EA_2} = 0 \quad \rightarrow \quad B = C = -N = \frac{EA_1 A_2 \alpha_T \Delta T}{A_1 + A_2}$$

α	0	$\frac{\pi}{6}$	$\frac{\pi}{4}$	$\frac{\pi}{3}$	$\frac{\pi}{2}$	$\frac{2\pi}{3}$	$\frac{3\pi}{4}$	$\frac{5\pi}{6}$	π	$\frac{7\pi}{6}$	$\frac{5\pi}{4}$	$\frac{4\pi}{3}$	$\frac{3\pi}{2}$	$\frac{5\pi}{3}$	$\frac{7\pi}{4}$	$\frac{11\pi}{6}$	2π
α°	0°	30°	45°	60°	90°	120°	135°	150°	180°	210°	225°	240°	270°	300°	315°	330°	360°
$\sin \alpha$	0	$\frac{1}{2}$	$\frac{\sqrt{2}}{2}$	$\frac{\sqrt{3}}{2}$	1	$\frac{\sqrt{3}}{2}$	$\frac{\sqrt{2}}{2}$	$\frac{1}{2}$	0	$-\frac{1}{2}$	$-\frac{\sqrt{2}}{2}$	$-\frac{\sqrt{3}}{2}$	-1	$-\frac{\sqrt{3}}{2}$	$-\frac{\sqrt{2}}{2}$	$-\frac{1}{2}$	0
$\cos \alpha$	1	$\frac{\sqrt{3}}{2}$	$\frac{\sqrt{2}}{2}$	$\frac{1}{2}$	0	$-\frac{1}{2}$	$-\frac{\sqrt{2}}{2}$	$-\frac{\sqrt{3}}{2}$	-1	$-\frac{\sqrt{3}}{2}$	$-\frac{\sqrt{2}}{2}$	$-\frac{1}{2}$	0	$\frac{1}{2}$	$\frac{\sqrt{2}}{2}$	$\frac{\sqrt{3}}{2}$	1
$\operatorname{tg} \alpha$	0	$\frac{1}{\sqrt{3}}$	1	$\sqrt{3}$	-	$-\sqrt{3}$	-1	$-\frac{1}{\sqrt{3}}$	0	$\frac{1}{\sqrt{3}}$	1	$\sqrt{3}$	-	$-\sqrt{3}$	-1	$-\frac{1}{\sqrt{3}}$	0
$\operatorname{ctg} \alpha$	-	$\sqrt{3}$	1	$\frac{1}{\sqrt{3}}$	0	$-\frac{1}{\sqrt{3}}$	-1	$-\sqrt{3}$	-	$\sqrt{3}$	1	$\frac{1}{\sqrt{3}}$	0	$-\frac{1}{\sqrt{3}}$	-1	$-\sqrt{3}$	-